

## مطالعه تنوع ژنتیکی جو به کمک نشانگرهای ریز ماهواره و تجزیه ارتباط برای صفات وابسته به تحمل یخ‌زدگی

### Genetic Diversity in Barley as Revealed by Microsatellite Markers and Association Analysis of These Markers by Traits Related to Freezing Tolerance

علیه گنج خانلو<sup>۱</sup>، سید ابوالقاسم محمدی<sup>۲</sup>، محمد مقدم<sup>۳</sup>، کاظم قاسمی گلعدانی<sup>۲</sup>،  
محمد رضا شکیبا<sup>۲</sup>، و احمد یوسفی<sup>۳</sup>

۱- دانشجوی سابق کارشناسی ارشد اصلاح نباتات، دانشکده کشاورزی دانشگاه تبریز.

۲- استاد، دانشکده کشاورزی دانشگاه تبریز

۳- کارشناس، موسسه تحقیقات اصلاح و تهیه نهال و بذر، کرج

تاریخ دریافت: ۱۳۹۰/۲/۱۵ تاریخ پذیرش: ۱۳۹۰/۷/۲۱

#### چکیده

گنج خانلو، ع.، محمدی، س.ا.، مقدم، م.، قاسمی گلعدانی، ک.، شکیبا، م.ر.، و یوسفی، ا.ا. ۱۳۹۱. مطالعه تنوع ژنتیکی جو به کمک نشانگرهای ریز ماهواره و تجزیه ارتباط برای صفات وابسته به تحمل یخ‌زدگی. مجله بهنژادی نهال و بذر ۲۸-۱: ۱۱۴-۱۰۱.

تنوع ژنتیکی ۳۵ ژنوتیپ جو با استفاده از نشانگرهای ریز ماهواره و رابطه این نشانگرها با برخی صفات وابسته به تحمل یخ‌زدگی بررسی شد. پس از استخراج و تکثیر DNA از برگ‌های جوان، محصولات تکثیری تفکیک و الگوی باندی آن‌ها نمره ۵۵ هی شد. بر اساس داده‌های حاصل میزان چند شکلی و میانگین تنوع ژنتیکی برای هر آغازگر محاسبه و در نهایت ژنوتیپ‌ها گروه‌بندی شدند. صفات وزن تر و خشک برگ، طوفه و گیاهچه، درصد آب بافت، میزان اقلاف آب بافت، درصد زنده‌مانی در دماهای ۶، ۱۰، ۱۴، ۱۶ و ۱۸-۲۰ درجه سانتی‌گراد و LT50 در ژنوتیپ‌های جو مورد مطالعه نیز اندازه‌گیری شدند. بر اساس نتایج حاصل در مجموع ۲۶۸ الی چند شکل با میانگین ۷/۴۴ الی ۲۱ به ازای هر جایگاه ریز ماهواره تولید شد. نشانگر Hvm74 با ۲۱ الی بیشترین و Hvm2a با ۱۳ الی کمترین تعداد الی را دارا بودند. کمترین فراوانی الی شایع (۰/۱۳) به نشانگر Hvm20 و بیشترین آن (۰/۵۳) به Hvm14 مربوط بود. میانگین فراوانی الی شایع ۰/۳۱ به دست آمد. میزان اطلاعات چند شکلی بین ۰/۰۴ تا ۰/۰۹۴ با میانگین ۷۷/۰ متفاوت بود و کمترین میزان به ترتیب به نشانگرهای Hvm2a و Hvm74 تعلق داشت. میزان تنوع ژنی برای نشانگرهای مورد استفاده در محدوده ۰/۰۵۳ تا ۰/۰۹۳ با میانگین ۰/۷۸ به دست آمد. بیشترین میزان هتروزیگوتوسی نیز به نشانگر Hvm74 (۰/۰۲۵) اختصاص یافت. با توجه به نتایج حاصل از تجزیه خوش‌های، نشانگرهای ریز ماهواره قادر بودند تفاوت‌ها و شباهت‌های ژنتیکی ارقام جو را به نحو مطلوب شناسایی کنند. بر اساس تجزیه ارتباط نشانگرها با ارزش‌های فنتوتیپی، ۳۸ جفت نشانگر ریز ماهواره رابطه معنی‌داری با ۱۲ صفت از ۱۳ صفت مورد ارزیابی در ژنوتیپ‌های جو نشان دادند. بیشترین تعداد الی برای درصد آب طوفه (۱۰ الی) و کمترین آن برای میزان اقلاف آب بافت (یک الی) شناسایی شد. الی‌های مرتبط با LT50 برابر با ۵ عدد بودند که از آن‌ها، در صورت تأیید در سایر آزمایش‌ها، می‌توان در برنامه‌های اصلاح برای تحمل یخ‌زدگی استفاده کرد.

واژه‌های کلیدی: جو، تنوع ژنتیکی، نشانگرهای ریز ماهواره، تجزیه ارتباط، تجزیه خوش‌های.

## مقدمه

برای مطالعات تنوع ژنتیکی، تهیه نقشه‌های پیوستگی و نیز مکان‌یابی ژن‌ها محسوب می‌شوند (Snowdon and Fried, 2004; Langridge *et al.*, 2001). توالی‌های احاطه‌کننده جایگاه‌های ریزماهواره‌ای، در داخل یک گونه یا در گونه‌های داخل یک جنس و به ندرت در جنس‌های خویشاوند حفاظت شده هستند و از آن‌ها می‌توان برای طراحی آغازگر به منظور تکثیر جایگاه‌های ریزماهواره‌ای استفاده کرد (Barriere *et al.*, 2001; Bernardo, 2001) فراوانی ریزماهواره‌ها در ژنوم، سطح بالای تنوع الی در جایگاه‌های ریزماهواره‌ای و سهولت به کارگیری این نشانگرهای آن‌ها را از سایر نشانگرهای ژنتیکی متمایز ساخته است (Ovesna *et al.*, 2002).

گونگ و همکاران (Gong *et al.*, 2009) از ۵۲ نشانگر SSR برای بررسی تنوع ژنتیکی ۳۳ رقم جو وحشی و ۵۶ رقم جو بومی، که عمده‌تاً از مناطق مختلف چین جمع‌آوری شده بودند، و یک رقم زراعی استفاده کردند. در مجموع ۲۰۶ الی در ۵۲ جایگاه ریزماهواره برای ۹۰ توده جو به دست آمد. تعداد الی به ازای هر جایگاه ریزماهواره بین ۱ تا ۹ الی با میانگین ۴ بود. متوسط میزان اطلاعات چند شکلی ۰/۵۴۷ بود که این میزان برای جوهای وحشی از صفر تا ۰/۸۱۳ با متوسط ۰/۵۴۳ و برای جوهای بومی در محدوده ۰ تا ۰/۷۹۰ با متوسط ۰/۴۹ متغیر بود. ژانگ و همکاران (Zhang *et al.*, 2009) در بررسی ۵۷ رقم جو

آگاهی از سطح تنوع ژنتیکی و برآورد میزان آن در ژرم پلاسم گیاهان و تعیین روابط ژنتیکی مواد اصلاحی، پایه و اساس بسیاری از برنامه‌های اصلاح نباتات به شمار می‌رود. در گیاهان مختلف نشانگرهای مورفو‌لوژیکی، ایزو‌زیم‌ها، پروتئین‌های ذخیره‌ای و نیز نشانگرهای DNA برای بررسی تنوع و تعیین روابط ژنتیکی افراد استفاده شده‌اند ولی به علت محدود بودن تعداد نشانگرها و تأثیر عوامل محیطی و مراحل رشدی گیاه بر نشانگرهای مورفو‌لوژیکی و پروتئینی، امروزه نشانگرهای مبتنی بر DNA به عنوان ابزارهای کارآ و مکمل برای تعیین سطح تنوع و تعیین روابط ژنتیکی ژنو‌تیپ‌های گیاهی استفاده می‌شوند (Zhang *et al.*, 2002; Mohammadi and Prasanna, 2003; Manifesto *et al.*, 2001).

امروزه از نشانگرهای مبتنی بر DNA برای بررسی تنوع ژنتیکی گیاهان زراعی از جمله جو استفاده گسترشده‌ای می‌شود (Malus and Hayes, 2002; Tanyolac, 2003; Davila *et al.*, 1999; Fernández *et al.*, 2002).

ریزماهواره‌ها از جمله نشانگرهای ژنتیکی هستند که به علت ویژگی‌های منحصر به فرد مورد استقبال فراوان محققین قرار گرفته‌اند (Andaya *et al.*, 1996). ریزماهواره‌ها به دلیل ماهیت هم‌بازار و چند الی، محتوای اطلاعات چند شکلی بالا و توزیع تصادفی در ژنوم، ابزارهای مناسب

(Holton *et al.*, 2001) در بررسی ۴۳ نشانگر ریزماهواره در ۱۰۸ رقم جو میانگین تعداد الـ ها را ۸/۸ و میانگین تنوع ژنی را ۵۵/۰ برآورد کردند. در این تحقیق آغازگرهایی با توالی تکراری (GA) بیشترین تعداد الـ را داشتند. اورابی و همکاران (Orabi *et al.*, 2004) در بررسی ۲۴۰ لاین جو که از ۲۴ مزرعه نمونه گیری شده بود، میانگین تنوع ژنتیکی را بین ۰/۳۵ تا ۰/۵۵ به دست آوردند. مزاروس و همکاران (Meszaros *et al.*, 2007) برای نشان دادن تنوع ژنتیکی بین ۲۶ رقم جواز ۲۶ نشانگر SSR و ۳۶ نشانگر RAPD استفاده کردند و نشان دادند که نشانگرهای SSR به خوبی قادرند ژنوتیپ‌ها را از یکدیگر تفکیک کنند. ابراهیمی و همکاران (Ebrahimi *et al.*, 2010) تنوع ژنتیکی ۷۳ نمونه جو ایران از دو گونه *H. vulgare* و *H. spontaneum* را با استفاده از ۱۵ جفت نشانگر ریزماهواره مورد بررسی قرار دادند و عنوان کردند که نشانگرهای ریزماهواره برای بررسی تنوع در هر دو گونه *H. vulgare* و *H. spontaneum* سودمند هستند.

Hamza و همکاران (Hamza *et al.*, 2004) از ۱۷ نشانگر ریزماهواره برای بررسی تنوع ژنتیکی ۲۶ رقم جو و تعیین ارتباط این نشانگرهای با برخی صفات مورفولوژیک استفاده کردند. از میان ۱۷ نشانگر ریزماهواره ۱۵ نشانگر چندشکل بودند. میانگین تعداد الـ ها برای هر جایگاه ۳/۶ و میزان اطلاعات

با استفاده از ۲۱ جفت آغازگر ریزماهواره متوسط تعداد الـ ها را ۱۷۶ و متوسط میزان اطلاعات چندشکلی (Polymorphic information content) PIC را ۰/۸۴۹ گزارش کردند. کوندون و همکاران (Condon *et al.*, 2004) بازده ژنتیکی و تنوع الـ که از جوهای شش ردیفه را با استفاده از نشانگرهای ریزماهواره مورد بررسی قرار دادند. میانگین تنوع الـ برای ۶۵ نشانگر SSR در میان ژنوم‌های مورد بررسی ۱۶ الـ در هر مکان ژنی بود. هولتون و همکاران (Holton *et al.*, 2002) از ۴۱ نشانگر ریزماهواره برای بررسی تنوع ژنتیکی یازده رقم جو استفاده کردند که از این تعداد ۱۶ نشانگر چندشکل بودند. ماتوس و هایز (Matus and Hayes, 2002) نشانگرهای ریزماهواره را برای بررسی تنوع ژنتیکی سه گروه از ژرم‌پلاسم جو، متشکل از ۱۴۷ ژنوتیپ، ۶۳۷ مورد استفاده قرار دادند. در این مطالعه الـ در ۴۲ مکان ریزماهواره در ژنوتیپ‌های مورد مطالعه تکثیر شد. میزان اطلاعات چندشکلی برای این جایگاه‌ها از ۰/۰۸ تا ۰/۹۳ متغیر بود. تعداد الـ در هر مکان در اجداد زراعی جـو ۱۰/۲، در والـدین جمعیت‌های در حال تفرق ۸/۴ و در ارقام مورد ارزیابی ۵/۶ بود. ورشنی و همکاران (Varshney *et al.*, 2005) میزان PIC نشانگرهای EST-SSR را در مجموعه‌ای از ژنوتیپ‌های جو بین ۰/۲۴ تا ۰/۷۸ با میانگین ۰/۴۸ برآورد کردند. هولتون و همکاران

مدت یک دقیقه و بسط در دمای  $72^{\circ}\text{C}$  به مدت دو دقیقه و در نهایت یک چرخه بسط نهایی به مدت ۷ دقیقه در دمای  $72^{\circ}\text{C}$  بود. جداسازی محصولات تکثیری با استفاده از الکتروفورز ژل پلی اکریلامید و اسرشته‌ساز ۶ درصد در دستگاه الکتروفورز عمودی ساخت شرکت Rad Bio انجام و رنگ آمیزی به روش نیترات نقره انجام شد (Anonymous, 2005).

امتیازدهی الگوهای نواری به صورت صفر (عدم وجود نوار) و یک (وجود نوار) انجام شد. همچنین برای هر نشانگر تعداد اللها در ژنوتیپ‌های مورد مطالعه به صورت  $a, b, c, \dots$  نامگذاری شدند. فراوانی‌های اللی و پارامترهای ژنتیکی هر جایگاه ریز ماهواره و نیز فاصله ژنتیکی ژنوتیپ‌ها برآورد شد. هتروزیگوتی مورد انتظار و میزان اطلاعات چندشکلی (PIC) به ترتیب با استفاده از فرمول‌های  $H = 1 - \sum pi^2$  و  $PIC = 1 - \sum_{i=1}^{n-1} \sum_{j=i+1}^n 2pipj^2$  شدند که در این فرمول‌ها،  $pi$  و  $pj$  به ترتیب فراوانی اللها  $i$  و  $j$  در جایگاه ریز ماهواره هستند (Wei et al., 2005). این پارامترها بر مبنای ۱۰۰۰ نمونه bootstrap با استفاده از برنامه PowerMarker V3.25 (Liu, 2004) برآورد شدند. فاصله ژنتیکی ژنوتیپ‌ها بر اساس ضرایب فاصله Kimura 2-parameters و با استفاده از نرم‌افزار MEGA3 محاسبه شد. تجزیه خوش‌های نیز براساس الگوریتم Neighbour-Joining انجام شد (Liu, 2004).

چندشکلی ۴۵/۰ بود. آن‌ها همبستگی مثبت و معنی‌داری بین برخی از نشانگرها و داده‌های مورفولوژیکی به دست آوردند.

اهداف این تحقیق بررسی تفاوت‌های ژنتیکی و گروه‌بندی ژنوتیپ‌های جو با استفاده از نشانگرها ریز ماهواره و تجزیه ارتباط آن‌ها با ارزش‌های فنوتیپی مربوط به چند صفت وابسته به تحمل یخ‌زدگی بود.

## مواد و روش‌ها

مواد گیاهی مورد ارزیابی شامل ۳۵ ژنوتیپ جو بودند که از بخش تحقیقات غلات موسسه تحقیقات اصلاح و تهیه نهال و بذر تهیه شدند. استخراج DNA ژنومی براساس روش ساقی معروف و همکاران (Saghai-Maroof et al., 1984) کیت و کیفیت نمونه‌ها با استفاده از روش اسپکتروفوتومتری و الکتروفورز ژل آگارز ۸/۰ درصد تعیین شد. برای تکثیر جایگاه‌های ریز ماهواره از ۴۴ جفت آغازگر ریز ماهواره استفاده شد. واکنش زنجیره‌ای پلی مراز در حجم ۱۰ میکرولیتر با اجزای ۵۰ نانوگرم DNA الگو، ۰/۲۵ میلی مولار آغازگر، ۰/۵ میلی مولار کلرید منیزیم، ۰/۱ واحد آنزیم Taq DNA، ۰/۲۵ میلی مولار مخلوط dNTP انجام شد. چرخه‌های حرارتی شامل یک چرخه و اسرشته‌سازی اولیه در دمای  $94^{\circ}\text{C}$  به مدت ۵ دقیقه، ۳۵ چرخه با و اسرشته‌سازی در دمای  $94^{\circ}\text{C}$  به مدت یک دقیقه، اتصال آغازگر در دماهای  $50-65^{\circ}\text{C}$  به

مورد بررسی، ۳۶ جفت آغازگر الگوی نواری مناسبی را تولید کردند. از بین ۳۶ جفت آغازگر ریزماهواره در مجموع ۲۶۸ الی با میانگین ۷/۴۴ الی به ازای هر نشانگر در ۳۵ ژنوتیپ جو تولید شد (جدول ۲). نشانگر Hvm2A با ۳ الی کمترین تعداد و نشانگر Hvm74 با ۲۱ الی بیشترین تعداد الی را دارا بودند. ژانگ و همکاران (Zhang *et al.*, 2009) در بررسی ۵۷ رقم جو با استفاده از ۲۱ جفت آغازگر ریزماهواره تعداد کل الها را ۱۷۶ به دست آوردند. ابراهیمی و همکاران (Ebrahimi *et al.*, 2010) با مطالعه تنوع ژنتیکی ۷۳ نمونه جو ایران در گونه های *H. spontaneum* و *H. vulgare* ۱۵ جفت نشانگر ریزماهواره، اظهار داشتند که بیشترین تعداد الی در گونه *H. vulgare* مربوط به جایگاه های Bmac0316 و Hvm40 با ۸ الی و کمترین آن مربوط به جایگاه Hvm70 با دو الی بود. بیشترین تعداد الی در گونه *H. spontaneum* نیز به جایگاه Hvm40 با ۹ الی و کمترین آن به جایگاه های Hvm70 و HvmLoH1A با ۲ الی تعلق داشت. میزان اطلاعات چندشکلی برای نشانگر های مورد بررسی در این مطالعه بین ۰/۹۴ تا ۰/۴۲ با میانگین ۰/۷۴ متغیر بود. نشانگر Hvm2A کمترین و نشانگر Hvm74 بیشترین میزان PIC را داشتند. میزان اطلاعات چندشکلی یکی از شاخص های مهم جهت مقایسه نشانگر های مختلف از نظر قدرت تمایز آن ها به شمار

علاوه بر بررسی ژنوتیپ های جو مورد مطالعه از نظر نشانگر های ریزماهواره، وزن تر و خشک برگ، طوفه و گیاهچه، میزان اتلاف آب بافت، درصد آب بافت؛ Brule-Bable and Fowler, 1989) (Fowler *et al.*, 1981 آن ها در ماهات ۱۰، ۱۴، ۱۶ و ۱۸ درجه سانتی گراد نیز در آزمایشگاه اندازه گیری شد. سپس با استفاده از مقادیر درصد زنده مانی، LT50 ژنوتیپ ها به کمک تبدیل پروفیت محاسبه گردید.

برای شناسایی نواحی تنومی دخیل در کنترل صفات فیزیولوژیکی اندازه گیری شده در ژنوتیپ های جو تجزیه ارتباط ژنوتیپ ها بر اساس نشانگر های ریزماهواره و ارزش های فتوتیپی این صفات با استفاده از تجزیه رگرسیون چند گانه به روش گام به گام انجام شد. به این ترتیب که ال های نشانگر های مورد ارزیابی به عنوان متغیر های مستقل و صفات مورد نظر به عنوان متغیر وابسته در نظر گرفته شدند. برای کاهش خطای تجزیه رگرسیون، سطح احتمال ۰/۰۱ برای ورود متغیر ها به مدل و سطح احتمال ۰/۰۵ برای خروج از مدل منظور شد.

## نتایج و بحث

مشخصات ژنوتیپ های جو مورد استفاده در این بررسی در جدول ۱ نشان داده شده است.

از مجموع ۴۴ جفت آغازگر ریزماهواره

جدول ۱- مشخصات ژنوتیپ‌های جو مورد استفاده در آزمایش  
Table 1. The characteristics of barley genotypes used in the experiment

No.	شماره Genotype code	کد ژنوتیپ Pedigree	شجره
1	EC79-10	Walfajre/Miraj 1	
2	EC79-13	Kmk//Rbr/Wa2196-68/3/EBC(A)	
3	EC79-18	Ligne 131//4341 N/Ortolan	
4	EC80-7	YEA389.3/YEA475.4	
5	EC80-11	Alger/(CI10117/Choyo..	
6	EC80-13	Ceres//WI2192/Emir/3/Karoon	
7	EC81-11	Coss/OWB 71080-44-IH	
8	EC81-13	Comp 89-9Cr-79-07/Atem//(Alpha/HC1905//Robur)/3/.	
9	EC82-10	Arar/Productive	
10	EC83-4	L.131/Gerbel//Ager-Ceres/3/(Scotia/Wa...)	
11	EC83-5	Arar/L.1242	
12	EC83-12	K-096M3	
13	EC83-17	Makouee//Zarjow/80-5151	
14	A1C84-7	Star/Dundy	
15	A1C84-9	F2//Radical/Karat/3/Radical/4/Xemus	
16	A1C84-12	Kozir/330	
17	A1C84-14	Astrix(C)/3/Mal/OWB753328-5H//Perga/Boyer	
18	A1C84-15	Monolit/Plaisant	
19	A2C84-5	CWB117-77-9-7/Teran 78	
20	A2C84-8	Legia/3/Arizona5908/Aths//L.640	
21	A2C84-11	Roho/Mazurka//Dyton	
22	A2C84-12	Boyer(F356)126//Cem1413/Kt2085	
23	A2C84-14	Cyclone/Arar	
24	A2C84-18	Mal/OWB753328-5H//11840-76/3/Radical	
25	A2C84-17	Monolit/Plaisant	
26	Makouee	Makouee	
27	CB74-2	CB74-2	
28	Rihaneh	Rihane	
29	KA VIR	Kavir	
30	73M4-C	73M4-30	
31	Schulyer	Schuyler	
32	L.1242	L.1242	
33	Aths	Aths	
34	EM80-7	Rihane//Aths/Bc	
35	EM80-9	LB.Iran/Una 8271//Gloria"S"/Come"s"-11M/3/Kavir	

روی جوهای (Ebrahimi *et al.*, 2010) می‌رود. مقادیر بالای این معیار دلالت بر ایران نیز میزان PIC در گونه *H. vulgare* از ۰/۰۴۳ در جایگاه Bmac0415 تا ۰/۱۹ در جایگاه Bmag0603 و در گونه *H. spontaneum* از ۰/۰۴۰ در جایگاه Bmac0040 میزان اتفاقاً متغیر بود. میزان اطلاعات در جایگاه Hvm70 هستند. براساس مطالعه ابراهیمی و همکاران

چندشکلی زیاد در یک جایگاه نشانگری دارد که در تفکیک و تمایز افراد نقش بسزایی دارد. بنابراین، نشانگرهای با PIC بالا برای تمایز ژنوتیپ‌های با خویشاوندی نزدیک مفید هستند. براساس مطالعه ابراهیمی و همکاران

جدول ۲- تعداد ال، فراوانی ال شایع، میزان هتروزیگوستی، تنوع ژنی، میزان اطلاعات چند شکلی و مکان کروموزومی نشانگرهای ریزماهواره در ژنوتیپ های جو

Table 2. Allele number<sup>a</sup>, frequency of more common allele<sup>b</sup>, amount of heterozygosity<sup>c</sup>, mean gene diversity<sup>d</sup>, chromosome location<sup>e</sup> and polymorphic information content<sup>f</sup> for SSR markers in relation to barley genotypes

شنانگر	تعداد ال	فراوانی ال شایع	میزان هتروزیگوستی	تنوع ژنی	مکان کروموزومی	میزان اطلاعات چند شکلی
Marker	a	b	c	d	e	f
Hvm7	6	0.259	0.00	0.809	7	0.782
Hvm63	6	0.345	0.00	0.773	5	0.739
Hvm64	5	0.333	0.00	0.760	5	0.721
Hvm5	11	0.200	0.00	0.877	1	0.865
Hvdhn9	9	0.258	0.03	0.827	7	0.805
Hvm2a	3	0.500	0.00	0.531	7	0.421
Hvdhn7	10	0.293	0.05	0.828	7	0.808
Hvbkasi	8	0.333	0.13	0.777	2	0.744
Hvm6	7	0.364	0.00	0.736	7	0.697
Hvcma	9	0.274	0.03	0.820	1	0.798
Hvm13	5	0.516	0.00	0.662	4	0.621
Hvm26	5	0.367	0.00	0.722	2	0.676
Hvm30	4	0.320	0.00	0.742	7	0.695
Hvm31	7	0.321	0.00	0.796	6	0.768
Hvm27	9	0.233	0.00	0.836	3	0.815
Hvm20	11	0.133	0.03	0.897	5	0.888
Hvm14	7	0.533	0.00	0.647	6	0.606
Hvm33	4	0.378	0.00	0.703	3	0.650
Hvm36	9	0.258	0.06	0.831	2	0.810
Hvm40	9	0.317	0.03	0.828	4	0.810
Hvm43	4	0.429	0.00	0.663	5	0.600
Hvm9	8	0.243	0.00	0.841	3	0.822
Hvcsg-1	6	0.345	0.00	0.751	2	0.712
Hvcsg-2	6	0.286	0.00	0.768	2	0.752
Hvm4	5	0.400	0.00	0.704	1	0.625
Hvleu	7	0.290	0.00	0.778	7	0.745
Hvm54	6	0.324	0.00	0.787	2	0.757
Hvm49	12	0.167	0.00	0.896	1	0.868
Hvm51	5	0.438	0.00	0.701	1	0.655
Hvm65	5	0.321	0.00	0.740	6	0.693
Hvm60	9	0.231	0.00	0.852	3	0.835
Hvm67	11	0.367	0.00	0.811	4	0.794
Hvm68-1	7	0.267	0.00	0.827	4	0.804
Hvm68-2	7	0.226	0.00	0.843	4	0.823
Hvm70	5	0.267	0.00	0.782	3	0.747
Hvm74	21	0.156	0.25	0.927	6	0.923
میانگین	7.44	0.314	0.03	0.780		0.748
انحراف معیار	0.53	0.015	0.016	0.014		0.016

اطلاعات چندشکلی را برای ۲۶ رقم جو ۰/۴۵ گزارش کردند. به نظر می‌رسد که در ژرم‌پلاسم جوهای زراعی موجود در ایران و سایر نقاط دنیا (Beyen *et al.*, 2005) چند شکلی قابل توجهی وجود دارد. میزان هتروزیگوستی مورد انتظار یا تنوع ژنتیکی یکی دیگر از معیارهای ارزیابی تنوع الی نشانگرها و میزان اطلاعات نشانگری در

چندشکلی در مطالعات ماتوس و هایز (Matus and Hayes, 2002) بین ۰/۰۸ تا ۰/۹۳ در ۱۴۷ رقم جو در نوسان بود. متوسط میزان PIC گزارش شده توسط گونگ و همکاران (Gong *et al.*, 2009) و (Zhang *et al.*, 2009) ۰/۵۴۷ و ۰/۰۵۴ و ۰/۸۴۹ بود. حمزا و همکاران (Hamza *et al.*, 2004) نیز میانگین میزان

بیشترین میانگین PIC و تنوع ژنی مربوط به نشانگرهای سه نوکلئوتیدی است (جدول ۳). به عبارت دیگر در این مطالعه نشانگرهای ریزماهواره با توالی‌های تکراری سه نوکلئوتیدی قدرت تفکیک بالاتری نسبت به سایر نشانگرهای داشتند. این امر شاید به تعداد کم این نشانگرهای در مقایسه با نشانگرهای دو نوکلئوتیدی مربوط باشد. نشانگرهای دارای توالی‌های تکراری دو و چهار نوکلئوتیدی از میانگین PIC و تنوع ژنی تقریباً یکسانی برخوردار بودند.

دندروگرام حاصل از روش Neighbour- Joining بر اساس ضریب فاصله Kimura 2- parameters در شکل ۱ مشاهده شود. با توجه به اعداد Bootstrap بیشترین تمایز گروه‌ها در محل برش دندروگرام با سه گروه حاصل شد. در مواردی که ژنتیپ‌ها دارای شجره مشابه بودند، اغلب در یک گروه قرار گرفتند. به عنوان مثال لاین‌های A1C84-17 و A2C84-15 که از شجره یکسان (Monolit/Plaisant) برخوردار بودند، در گروه اول واقع شدند. همچنین دو ژنتیپ در گروه اول براین، ژنتیپ EC82-10 و EC83-5 که یکی از والدین آن‌ها رقم Arar بود، در گروه دوم قرار گرفتند. افرون براین، ژنتیپ EM80-7 که در تشکیل آن لاین‌های Aths و Rihane نقش داشتند، با خود این لاین‌ها در گروه سوم جای گرفتند. این نتایج کارایی نشانگرهای ریزماهواره را در تشخیص تفاوت‌ها و شباهت‌های ژنتیکی بیان می‌دارد.

مطالعات بررسی تنوع و ساختار ژنتیکی جمعیت‌ها است. این شاخص احتمال متفاوت بودن دو الی تصادفی در دو فرد را نشان می‌دهد. در این پژوهش میانگین تنوع ژنی ۰/۹۳ تا ۰/۵۳ برابر ۰/۷۸ بود که در محدوده ۰/۵۳ تا ۰/۹۳ نوسان داشت. در مطالعات هولتون و همکاران (Holton *et al.*, 2001) نیز میانگین تنوع ژنتیکی در بین ۱۰۸ رقم جو برای ۴۳ نشانگر ریزماهواره ۰/۵۵ براورد شد. فراوانی الی شایع (الی که بیشترین فراوانی را بین الی‌های یک جایگاه دارد) در این مطالعه از ۰/۱۲ ۰/۳۱ تا ۰/۵۳ (Hvm14) با میانگین Hvm20 متفاوت بود. مقایسه نشانگرهای با توالی تکراری متفاوت نشان داد که نشانگرهای با توالی‌های تکراری دو نوکلئوتیدی دارای بیشترین تعداد الی، میزان اطلاعات چندشکلی و تنوع ژنی و کمترین میزان فراوانی الی شایع بودند. با مقایسه مقادیر PIC و تنوع ژنی نشانگرهای مختلف رابطه بالایی بین دو پارامتر مشاهده شود. تفاوت اندک این دو پارامتر نیز از وجود هتروزیگوتی میان ژنتیپ‌ها منشاء می‌گیرد و در حالت هتروزیگوتی برابر صفر این دو پارامتر تقریباً مشابه خواهد بود. در حالت کلی هر چه تعداد الی بیشتر باشد تنوع ژنی و PIC بالایی نیز وجود خواهد داشت ولی فراوانی الی شایع آن نشانگر پایین خواهد بود.

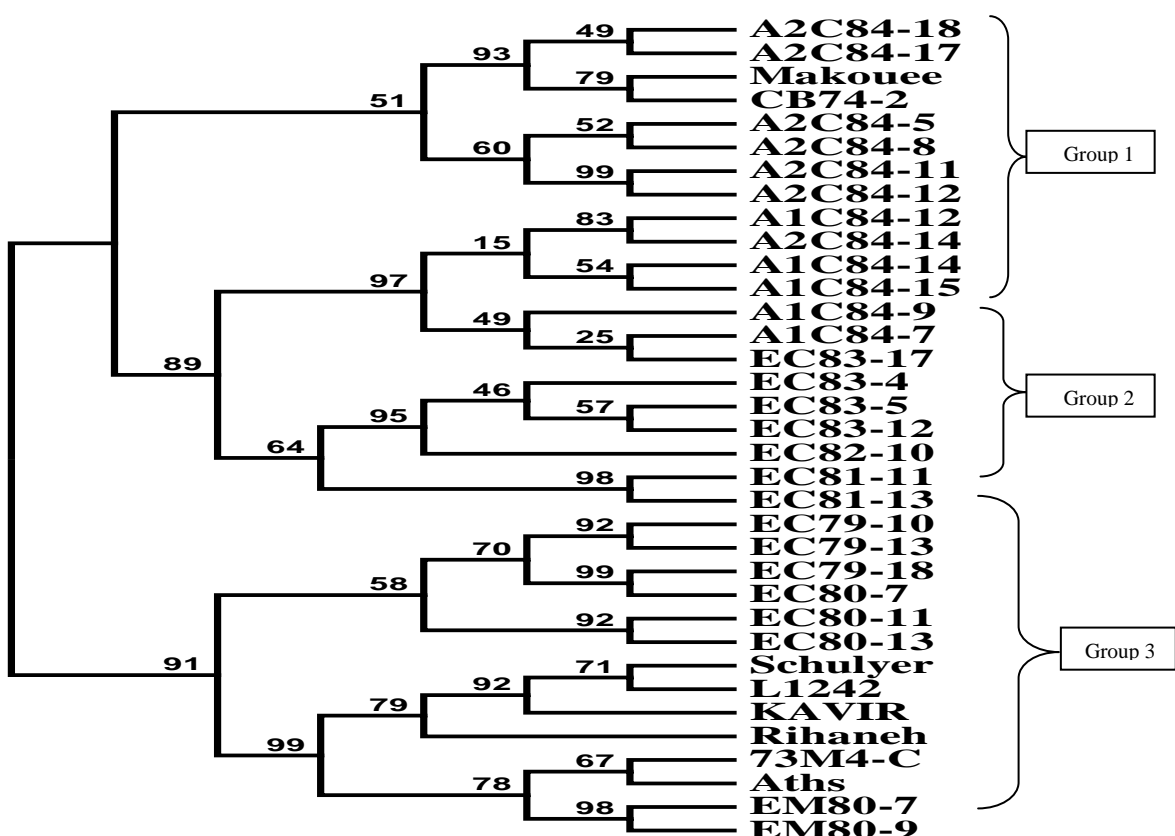
(Mohammadi, 2006)

بررسی تنوع ژنی نشانگرهای به تفکیک تعداد نوکلئوتید در واحدهای تکراری نشان داد که

جدول ۳- میانگین تنوع ژنتیکی و میزان اطلاعات چند شکلی نشانگرهای ریز ماهواره به تفکیک  
توالی‌های تکراری در ۳۵ ژنوتیپ جو

Table 3. Mean gene diversity (MGD) and polymorphic information content (PIC) of microsatellite markers for 2- and 3- nucleotide sequence repeats in 35 barley genotypes

پارامتر ژنتیکی	Number of nucleotide repeats			تعداد نوکلئوتیدهای واحدهای تکراری
	2	3	4	
Genetic parameter				
MGD	0.78	0.83	0.77	
PIC	0.74	0.81	0.74	



شکل ۱- گروه‌بندی ژنوتیپ‌های جو با استفاده از الگوریتم Neighbor-Joining و ضریب فاصله Kimura 2-parameters

Fig. 1. Grouping of barley genotypes using the Neighbor-Joining algorithm and distance coefficient of Kimura 2-parameters

نشانگرهای SSR به خوبی قادرند چند شکلی  
بالایی را بین ژنوتیپ‌های جو آشکار سازند و  
از این رو ابزارهای مفیدی برای انگشت نگاری  
ژنوتیپ‌ها و دسته‌بندی آن‌ها در گروه‌های

به طور کلی در بین ژنوتیپ‌های جو مورد  
مطالعه تنوع ژنتیکی مشاهده شد که از این تنوع  
می‌توان در برنامه‌های به نژادی استفاده به عمل  
آورد. افزون براین، می‌توان اظهار داشت که

یک از نشانگرهای ریزماهواره نداشت. در مجموع ۶۲ الل از ۳۸ نشانگر ریزماهواره ارتباط معنی داری با تغییرات ۱۲ صفت داشتند. درصد آب طوقه با ۱۰ الل مثبت بیشترین و درصد زنده‌مانی در دمای  $10^{\circ}\text{C}$  - با دو الل و میزان اتلاف آب بافت با یک الل کمترین تعداد الل مرتبط را داشتند. تعداد پنج الل با ضریب تبیین  $0.89$  با LT50 ارتباط داشتند که از میان آنها سه الل (Hvm13b, Hvm6d, Hvm74f) از ضریب رگرسیون منفی برخوردار بودند. با توجه به ماهیت LT50 می‌توان گفت که این نشانگرها دارای الل‌های مطلوب در کنترل صفت LT50 هستند و وجود این الل‌ها موجب افزایش تحمل به یخ‌زدگی می‌شود. بنابراین در صورت تداوم نفس آنها در آزمایش‌های دیگر، امکان استفاده از این نشانگرها در برنامه‌های اصلاح برای تحمل یخ‌زدگی می‌تواند میسر شود. حمزا و همکاران (Hamza et al., 2004) ارتباط ۱۷ نشانگر ریزماهواره با تعدادی از صفات مورفو‌لوژیکی در ۲۶ ژنوتیپ جو را بررسی کردند. همبستگی حاصل از داده‌های مولکولی و صفات مورفو‌لوژیکی معنی دار ولی پایین بود. آنها همچنین نشان دادند که تنوع ژنتیکی بالایی در ژنوتیپ‌های جو مورد مطالعه وجود دارد.

مختلف به شمار می‌روند. ابراهیمی و همکاران (Ebrahimi et al., 2010) نیز با بررسی جوهای ایران عنوان کردند که نشانگرهای ریزماهواره برای بررسی تنوع در هر دو گونه *H. spontaneum* و *H. vulgare* مفید هستند.

بین ژنوتیپ‌های جو از نظر صفات درصد آب برگ، طوقه و گیاهچه، میزان اتلاف آب نسبی، درصد زنده‌مانی در دماهای  $6^{\circ}$  -  $10^{\circ}$  درجه سانتی گراد و LT50 اختلاف معنی داری وجود داشت (داده‌ها درج نشده‌اند). این نتایج حاکی از آن هستند که علاوه بر مشاهده تنوع ژنتیکی در ژنوتیپ‌های جو مورد مطالعه از نظر نشانگرهای ریزماهواره، در بین صفات مرتبط با تحمل یخ‌زدگی نیز تفاوت‌های ژنتیکی وجود داشت. نتایج تجزیه ارتباط ژنوتیپ‌ها بر اساس نشانگرها ریزماهواره و ارزش فنوتیپی آنها برای ۱۳ صفت وابسته به تحمل یخ‌زدگی با استفاده از تجزیه رگرسیون گام به گام برای شناسایی نواحی ژنومی دخیل در کنترل این صفات در جو در جدول ۴ درج شده است. تجزیه واریانس رگرسیون، رابطه معنی داری بین برخی از نشانگرها ریزماهواره و ۱۲ صفت از ۱۳ صفت اندازه گیری شده نشان داد. وزن خشک برگ رابطه معنی داری با هیچ

**جدول ۴- نام، جایگاه کروموزومی و ضریب رگرسیون نشانگرهای مثبت برای صفات مرتبط با تحمل بخزندگی در ژنوتیپ‌های جو مورد مطالعه**

Table 4. Name, chromosome location and regression coefficient of informative markers for traits related to freezing tolerance in studied barley genotypes

صفت Trait	نشانگر مثبت Informative marker	شماره کروموزوم Chromosome number	ضریب رگرسیون Regression coefficient	ضریب رگرسیون استاندارد شده Standardized regression coefficient
LT50 درصد زنده‌مانی در -6°C % survival at -6°C	Hvleu (g)	7	2.88 ± 0.39	0.743
	Hvm49 (f)	1	5.36 ± 0.95	0.538
	Hvm74 (t)	6	-3.41 ± 0.66	-0.478
	Hvm6 (d)	7	-3.46 ± 0.72	-0.485
	Hvm13 (b)	4	-1.57 ± 0.43	-0.353
-10°C درصد زنده‌مانی در % survival at -10°C	Hvm49 (f)	1	-47.52 ± 6.91	-0.523
	Hvm64 (d)	5	-20.60 ± 2.77	-0.596
	Hvm64 (e)	5	-12.97 ± 4.58	-0.239
	Hvm74 (a)	6	-33.89 ± 6.90	-0.374
	Hvm13 (e)	4	-24.41 ± 5.67	-0.374
وزن تر طوفه Crown fresh weight	Hvm40 (b)	4	-11.69 ± 3.59	-0.267
	Hvm68 (e)	4	-50.15 ± 10.34	-0.592
	Hvm14 (e)	6	-63.00 ± 17.32	-0.444
	Hvcma (d)	1	0.038 ± 0.008	0.35
	Hvm49 (b)	1	0.055 ± 0.008	0.51
وزن خشک طوفه Crown dry weight	Hvm5(g)	1	0.062 ± 0.01	0.41
	Hvm64 (a)	5	0.035 ± 0.007	0.39
	Hvm33 (a)	3	0.017 ± 0.004	0.27
	Hvcma (g)	1	-0.017 ± 0.004	-0.28
	Hvm27 (e)	3	0.014 ± 0.005	0.21
درصد آب گیاهچه Seedling moisture	Hvm5(c)	1	1.68 ± 4.823	0.444
	Hvm70 (d)	3	-2.62 ± 0.906	-0.407
	Hvdhn9(e)	7	0.020 ± 0.408	0.63
	Hvm60 (a)	3	-0.039 ± 0.008	-0.50
	Hvm26 (c)	2	0.012 ± 0.003	0.39
میزان اتلاف آب نسبی Relative water loss	Hvcsg (e)	2	0.013 ± 0.004	0.33
	Hvdhn9 (e)	7	0.005 ± 0.002	0.45
	Hvm9 (e)		-0.44 ± 0.068	0.36
	Hvm5(f)	1	0.65 ± 0.071	-0.45
	Hvcma (d)	1	0.88 ± 0.097	0.42
درصد آب طوفه Crown moisture	Hvm5 (c)	1	-0.83 ± 0.134	-0.28
	Hvm30 (a)	7	-0.44 ± 0.068	-0.35
	Hvm67 (a)	4	-0.79 ± 0.132	-0.27
	Hvm26 (d)	2	-0.43 ± 0.084	-0.24
	Hvm5 (h)	1	0.43 ± 0.077	0.27
وزن تر برگ Leaf fresh weight	Hvm31 (d)	6	0.35 ± 0.076	0.22
	Hvm68 (d)	4	0.26 ± 0.083	0.15
	Hvcma (d)	1	0.29 ± 0.04	0.729
	Hvm30 (a)	7	-0.17 ± 0.02	-0.716
	Hvm64 (d)	5	-0.08 ± 0.015	-0.408
وزن خشک برگ Leaf moisture	Hvm5 (a)	1	-0.14 ± 0.03	-0.337
	Hvm33 (c)	3	-0.085 ± 0.018	-0.317
	Hvm65 (a)	6	-0.176 ± 0.05	-0.315
	Hvm5 (j)	1	-0.05 ± 0.02	-0.196
	Hvm9 (e)	3	-0.57 ± 0.091	-0.37
درصد آب برگ Seedling fresh weight	Hvm5 (c)	1	-1.27 ± 0.18	-0.35
	Hvm5 (f)	1	0.70 ± 0.09	0.39
	Hvcma (d)	1	1.14 ± 0.136	0.43
	Hvm30 (a)	7	-0.65 ± 0.09	-0.43
	Hvm67 (a)	4	-1.09 ± 0.181	-0.29
وزن تر گیاهچه Seedling dry weight	Hvm26 (d)	2	-0.58 ± 0.116	-0.26
	Hvm5 (h)	1	0.37 ± 0.101	-0.19
	Hybkasi (c)	2	-0.28 ± 0.088	-0.17
	Hvcma (d)	1	0.26 ± 0.052	0.48
	Hvm30 (a)	7	-0.15 ± 0.031	-0.46
وزن خشک گیاهچه Seedling dry weight	Hvm64 (d)	5	-0.12 ± 0.03	-0.42
	Hvm63 (f)	5	0.23 ± 0.073	0.31
	Hvm49 (b)	1	0.16 ± 0.052	0.30
	Hvm5 (c)	1	4.32 ± 0.992	0.457
	Hvm5 (g)	1	5.35 ± 1.028	0.566
وزن خشک گیاهچه Seedling dry weight	Hvm67 (b)	4	3.04 ± 0.716	0.448
	Hvm4(e)	1	-1.30 ± 0.408	-0.353

## References

- Andaya, V. C., Tabanao, D., Maramara, G., and Sebastian, L. S. 1996.** Correlation of molecular diversity with heterosis in nine low land rice. Philippine Journal of Crop Science 21 (Supplement no. 1): 4 (Abstract).
- Anonymous, 2005.** Laboratory Protocols: CIMMYT Applied Molecular Genetics Laboratory. Third Edition. CIMMYT, Mexico, D.F.
- Barriere, Y., Gibelin, C., Argillier, O., and Mechlin, V. 2001.** Genetic analysis in inbred lines of early dent forage maize. I-QTL mapping for yield, earliness, starch and crude protein contents from per se value and top cross experiments. Maydica 46: 253-266.
- Bernardo, R. 2001.** Breeding potential of intra- and inter- heterotic group crosses in maize. Crop Science 41: 68-71.
- Beyen, Y., Botha, A. M., and Myburg, A. A., 2005.** A comparative study of molecular and morphological methods of describing genetic relationships in traditional Ethiopian highlands maize. African Journal of Biotechnology 4: 586-595.
- Brule-Babane, A. L., and Fowler, D. B. 1989.** Use of controlled environments of winter cereals cold hardiness evaluation: Controlled freeze tests and tissue water content. Canadian Journal of Plant Science 69: 355-366.
- Condon, F., Smith, K. P., and Schiefelebein, E. 2004.** Allelic diversity and genetic gain in Midwestern six- rowed barely germplasm. Abstracts of the 9th International Barley Genetic Symposium, Brno, Czech Republic. pp. 35-42.
- Davila, J. A., Loarce, Y., and Ferrer, E. 1999.** Molecular characterization and genetic mapping of random amplified microsatellite polymorphism in barley. Theoretical and Applied Genetics 98: 265-273.
- Ebrahimi, A., Naghavi, M. R., Sabokdast, M., and Mardi, M. 2010.** Assessment of genetic diversity in two accessions of barely species (*H. vulgare* L. and *H. spontaneum* L.) using SSR markers. Iranian Journal of Crop Sciences 12: 333-345 (in Persian).
- Fernández, M. E., Figueiras, A. M., and Benito, C. 2002.** The use of ISSR and RAPD markers for detecting DNA polymorphism, genotype identification and genetic diversity among barley cultivars with known origin. Theoretical and Applied Genetics 104: 845-851.
- Fowler, D. B., Gusta, L. V., and Tyler, N. J. 1981.** Selection for winter hardiness in wheat. III. Screeninig methods. Crop Science 21: 896-901.
- Gong, X., Westcott, S., Li, C., Yan, G., Lance, R., and Sun, D. 2009.** Comparative analysis of genetic diversity between Qinghai-Tibetan wild and Chinese landrace barley. Genome 52: 849-861.

- Hamza, S., Hamida, W. B., Rebai, A., and Harrabi, M. 2004.** SSR-Based genetic diversity assessment among Tunisian winter barley and relationship with morphological traits. *Euphytica* 135: 107-118.
- Holton, T. A., Christopher, J. T., McClure, L., Harker, N., and Henry, R. J. 2002.** Identification and mapping of polymorphic SSR markers from expressed gene sequences of barley and wheat. *Molecular Breeding* 9: 63-71.
- Holton, T. A., Cross, M., Karakousis, A., and Henry, R. J. 2001.** Genetic screening of Australian barely varieties using microsatellite markers. 49th Royal Australian Chemical Institute Cereal Chemistry Division Conference, Melbourne, Victoria. pp. 16-20.
- Langridge, P. E., Lagudah, S., Holton, T. A., Appels, R., Sharp, P. J., and Chalmers, K. J. 2001.** Trends in genetic and genome analyses in wheat: A review. *Australian Journal of Agricultural Research* 52: 1043-1077.
- Liu, J. 2004.** Power Marker V3.25 Manual. <http://www.power marker.net>.
- Manifesto, M. M., Schlatter, A. R., Hopp, H. E., Suarez, E. Y., and Dubcivsky, J. 2001.** Quantitative evaluation of diversity in wheat germplasm using molecular markers. *Crop Science* 41: 682-690.
- Matus, I. A., and Hayes, P. M. 2002.** Genetic diversity in three groups of barley germplasm assessed by simple sequence repeats. *Genome* 45: 1095-1106.
- Meszaros, K., Karsai, I., Kuti, C., Banyai, J., Lang, L., and Bedo, Z. 2007.** Efficiency of different marker systems for genotype fingerprinting and for genetic diversity studies in barley (*Hordeum vulgare* L.). *South African Journal of Botany* 73: 43-48.
- Mohammadi, S. A. 2006.** Analysis of molecular data from the view point of genetic diversity. Proceedings of Keynote Papers, 9<sup>th</sup> Iranian Crop Science Congress. 27-29 Aug. Aboreyhan Pardis, University of Tehran, Tehran, Iran. pp. 96-119 (in Persian).
- Mohammadi, S. A., and Prasanna, B. M. 2003.** Analysis of genetic diversity in crop plants: Salient statistical tools and considerations. *Crop Science* 43: 123-1248.
- Orabi, J., Backes, G., Tekle, B., Wolday, A., Yahyaoui, A., and Jahoor, A. 2004.** *In situ* conservation of genetic diversity at small- scale farmer in Eritrea. International Barley Genetic Symposium, Brno, Czech Republic. pp. 20-26.
- Ovesna, J., Polakova, K., and Leisova, L. 2002.** DNA analyses and their applications in plant breeding. *Czech Journal of Genetics and Plant Breeding* 38: 29-40.
- Saghai-Maroof, M. A., Soliman, K., Jorgensen, R. A., and Allard, R. W. 1984.** Ribosomal DNA spacer-length polymorphisms in barley: Mendelian inheritance, chromosome location and population dynamics. *Proceedings of the National Academy of Sciences USA* 81: 8014–8018.
- Snowdon, R. J., and Fried, W. 2004.** Molecular markers in Brassica oilseed breeding, current status and future possibilities. *Plant Breeding* 123: 1- 8.

- Tanyolac B.** 2003. Inter-simple sequence repeat (ISSR) and RAPD variation among wild barley (*Hordeum vulgare* subsp. *spontaneum*) populations from west Turkey. *Genetic Resources and Crop Evolution* 50: 611-614.
- Varshney, R. K., Grosse, I., Hahnel, U., Prasad, M., Stein, N., Langridge, P., Altschmied, L., and Graner, A.** 2005. Genetic mapping and BAC selection using EST-SSR markers provides an estimate on the gene space in the barely genome. *Theoretical and Applied Genetics* 113: 239- 250.
- Wei, Y. M., Hou, Y. C., Yan, Z. H., Wu, W., Zhang, Z. Q., Liu, D. C., and Zhang, Y. L.** 2005. Microsatellite DNA polymorphism divergence in Chinese wheat landraces highly resistant to fusarium head blight. *Theoretical and Applied Genetics* 46: 3-9.
- Zhang, X. Y., Li, C. W., Wang, L. F., Wang, H. M., You, G. X., and Dong, Y. S.** 2002. An estimation of the minimum number of SSR alleles needed to reveal genetic relationships in wheat varieties. Information from large-scale planted varieties and cornerstone breeding parents in Chinese wheat improvement and production. *Theoretical and Applied Genetics* 106: 67-73.
- Zhang, J.V., Yang, X.H., Yu Ya, X., He, Z., Wei, Z., Lide, Y., and Zhao, H.S.** 2009. Study on cenetic relationship of Yunnan Naked barley by SSR markers. *Journal of Triticeae Crops* 1: (In Chinese with English abstract).

